



همیافتنی تورمالین-فیروزه در منطقه‌ی دگرسانی فیلیک، کانسار مس-طلای منطقه‌ی کوه زر، جنوب سمنان

بتول تقی پور

گروه علوم زمین، دانشکده علوم، دانشگاه شیراز

(دریافت مقاله: ۹۲/۵/۲۹، نسخه نهایی: ۹۲/۹/۱۷)

چکیده: کمربند ماقمایی ترود-چاه شیرین در جنوب سمنان میزان سنگ‌های آتشفسانی-آذرآواری و توده‌های نفوذی سنوزوئیک است. کانسار کوه زر در گستره‌ی معدنی بافو با کانه‌زایی Cu-Au و فیروزه مشخص است. کانسار سازی در گستره‌ی دگرسانی‌های گرمایی منطقه صورت گرفته است. این دگرسانی‌ها بیشتر شامل پروپلیتیک، فیلیک، آرژیلیک پیشرفت‌ه و سیلیسی می‌شوند. همیافتنی کمیاب تورمالین به شکل پراکنده تا رگه‌ای با فیروزه در دگرسانی فیلیک تا آرژیلیک پیشرفت‌ه دیده می‌شود. پردازش داده‌های زمین شیمیایی (EPMA) ترکیب تورمالین را شورلیت-دراویت نشان داده است. بر اساس مشاهدات سنگ‌نگاری و نتایج زمین شیمیایی، آبشوئی سنگ‌های دگرسان به‌وسیله‌ی سیالات گرمایی و هجوم B از خاستگاه سنگ‌های دگرگون، سبب تشکیل تورمالین به خرج مسکوویت‌های زمینه از سنگ میزان شده است. پیدایش فیروزه ناشی از واکنش‌های اکسایشی، فرو پاشی کانی‌های سولفیدی و مس-دار در زون فیلیک و آبکافت آلومینوسیلیکات‌های میزان، (با مشارکت شاره‌ی حاوی P) به خرج فازهای کانیایی سرشار از آلومینیم (آلونیت) نیز امکان‌پذیر شده است. بدین گونه همپوشانی دو رخداد دگرسانی آرژیلیک پیشرفت‌ه یعنی تورمالین‌زایی اولیه و تشکیل فیروزه‌ی تاخیری رخ داده است.

واژه‌های کلیدی: کوه زر؛ تورمالین؛ فیروزه؛ شیمی کانی؛ دگرسانی.

تشکیل شده است. این توده‌ها سنگ‌های کربناتی کرتاسه و همچنین سنگ‌های آتشفسانی اؤسن را قطع کردند [۲]. بیشترین حجم این منطقه را سنگ‌های پیروکلاستیک، گدازه‌هایی با ترکیب آندزیتی و توده‌های نفوذی نیمه آتشفسانی با ترکیب گرانوپوریتی تشکیل می‌دهد.

هوبر و اشتولکلین [۳]، شروع فعالیت آتشفسانی را به لوتسین نسبت می‌دهند. هلمکر [۴] برای اولین بار به آبرفت‌های طلا دار کوه زر اشاره کردند. کانی‌سازی وسیع، پراکنده و ارتباط آن با دگرسانی منطقه‌ی مورد بررسی توسط ولی‌زاده و همکار [۱] مورد بررسی قرار گرفته است. کانی‌سازی‌های

مقدمه

منطقه‌ی معدنی کوه زر ترود به مختصات طول جغرافیایی '۲۰° تا '۳۵° و عرض جغرافیایی '۵۱° تا '۵۴° قرار گرفته است. این کانسار در ۱۰۰ کیلومتری جنوب شرقی دامغان قرار دارد و رشته کوهی است با روند تقریباً شرقی-غربی که راستای آن به بیش از صد کیلومتر و عرض آن به بیش از ۵۰ کیلومتر می‌رسد [۱]. توده‌های نفوذی متعددی در نوار ماقمایی ترود-چاه شیرین در جنوب دامغان قرار دارند. این نوار ماقمایی از رشته کوههای شمال ترود در شرق تا رشته کوههای چاه شیرین در غرب با روند شمال شرقی-جنوب غربی

* نویسنده مسئول، تلفن: ۰۷۱۳۶۱۳۷۴۵۷، پست الکترونیکی: Taghipour@shirazu.ac.ir

آلونیت، فیروزه و فیروزه آبی به این نتیجه رسیدند که کانی فیروزه به تدریج به خرج آلونیت شکل گرفته است. تورمالین پلی بروسیلیکاتی که با ترکیب گستردگ است، کانی شاخص محیط‌های مختلف زمین‌شناسی شامل دگرگونی، دگرسانی و ماقمایی است و به واسطه‌ی شیمی بلورین پیچیده آن از دیر باز مورد توجه کانی شناسان بوده است [۱۵، ۱۶]. کانی تورمالین مهمترین کانی سیلیکاتی بردار است که رخداد آن در محیط‌های ماقمایی، رسوبی و دگرگونی وسیع است باشد [۱۷]. این کانی با دامنه‌ی پایداری وسیع P-T می‌تواند در محیط‌های مختلف زمین‌شناسی حضور داشته باشد [۱۸]. تورمالین کانی شاخص پتروژنتیکی است و عنصر بر به عنوان عنصری متحرک طی پدیده‌های دگرگونی در نظر گرفته می‌شود [۱۹].

در گستره‌ی معدنی باگو-کوه زر، دگرسانی‌های گرمابی گسترش زیادی دارند. دگرسانی‌های فوق میزبان کانسار مس-طلای و فیروزه کوه زر هستند. همیافتی تورمالین و فیروزه در رگچه‌ها در گستره دگرسانی معدن از موارد کمیاب کانیایی است. آنچه مسلم است و در همه‌ی منابع موجود دیده می‌شوند، تورمالین و فیروزه به شکل انتزاعی مورد پژوهش قرار گرفته‌اند. هدف از این مقاله بررسی کانی شناسی و زمین‌شیمی همیافتی کمیاب تورمالین و فیروزه در دگرسانی‌های کوه زر است که در بررسی‌های پیشین به آن توجه‌ای نشده، و هیچ گونه ارتباط ژنتیکی برای این دو کانی در نظر گرفته نشده است.

روش بررسی

در این پژوهش پس از بررسی‌های صحرایی و نمونه برداری، نخست بررسی‌های سنگنگاری با استفاده از میکروسکوپ نوری مدل BH-2 انجام گرفت. برای تعیین ترکیب شیمیایی توده‌های نفوذی منطقه، تعداد ۱۰ نمونه از سنگ‌های آذرین درونی و بیرونی برای آزمایش‌های زمین‌شیمیایی با استفاده از روش فلئورسانی پرتو X (XRF) به آزمایشگاه مرکزی دانشگاه اصفهان (دستگاه‌های S-4 بروکر) ارسال شدند. همچنین برای تشخیص دقیق کانی‌ها، ۱۰ نمونه از سنگ‌های دگرسان به روش پراش پرتو x (XRD) مورد بررسی قرار گرفتند. آنالیزهای نقطه‌ای با ریزپرداز الکترونی مدل کامکا SX-50 روی ۲ نمونه‌ی فیروزه و ۲ نمونه‌ی تورمالین در دانشگاه کالسروهه (آلمان) انجام شدند.

صورت گرفته در کوه زر و منطقه‌های دگرسانی ارتباط تنگاتنگی با زمین ساخت این منطقه دارد (گسل‌هایی که در شمال به موازات گسل عطاری و در جنوب به موازات درونه قرار دارند [۱]).

جعفریان [۵] به بررسی سنگنگاری قوس ولکانوپلوتونیک رشته کوه زر-تروود و کانه‌زایی وابسته پرداخته است. احمدی شاد [۶] (۱۳۷۶) بررسی‌های دگرسانی و ژئوشیمی طلا در منطقه‌ی باگو را انجام داده است. نجاران [۷] بررسی‌هایی در مورد چگونگی تشکیل فیروزه در باگو پرداخته است. وجود طلای پلاسربی در ناحیه‌ی کوه زر و توصیف انواع دگرسانی‌ها و فرآیند تورمالین‌زایی در این منطقه توسط امینی و همکاران [۸] صورت گرفته است. لیاقت و همکاران [۹] مدلی را در خصوص چگونگی تشکیل فیروزه در منطقه‌ی باگو ارائه کردند. بررسی شیمی کانی تورمالین در رگه‌های کوارتز-تورمالین توده‌ی گرانیت‌ویک منطقه (دور از دگرسانی‌ها) توسط قربانی و همکار [۱۰] انجام شده است. رخداد تورمالین با دیدگاه سنگنگاری و ژئوشیمی در دگرسانی‌های گرمابی گستره‌ی کوه زر توسط خلیلی و همکار [۱۱] نیز مورد توجه قرار گرفته است.

کانی فیروزه^۱ با فرمول شیمیایی $\text{CuAl}_6(\text{PO}_4)_4(\text{OH})_8\text{H}_2\text{O}$ [۵] از دیر باز به عنوان یک گوهر قیمتی بوده است و این کانی به عنوان یک کانی ایرانی نام برده می‌شود. مشهورترین کانسار فیروزه در خاورمیانه که شهرت جهانی دارد، کانسار فیروزه‌ی نیشابور است. علاوه بر آن در نقاط دیگر ایران مانند کانسار مس پورفیری سرچشم و علی آباد تفت، شهر بابک کرمان و یخ آب کاشمر فیروزه یافت شده است [۱۲]. اعتمادی و خیرآبادی [۱۳]، بررسی‌هایی در خصوص زمین‌شناسی و زمین‌شیمی انواع کیفی فیروزه در معدن نیشابور انجام داده‌اند که در این خصوص عامل تنوع رنگ در کانی فیروزه وجود ناخالصی‌هایی از قبیل آهن و تیتانیم هستند. همچنین هاشمی تنگستاتی [۱۴] به بررسی کانی شناسی، زمین‌شیمی و خاستگاه فیروزه کانسار میدوک پرداخته است. در این بررسی فیروزه از واکنش تبدیل آلونیت شکل گرفته است.

تشکیل فیروزه در منطقه‌ی کوه زر به صورت رگه‌ای، رگچه‌ای و گاهی پوششی در همیافتی با آلونیت‌های سیز گزارش شده است. لیاقت و همکاران [۹] از تشابه طیف‌های IR

1- turquoise

توفیتی.

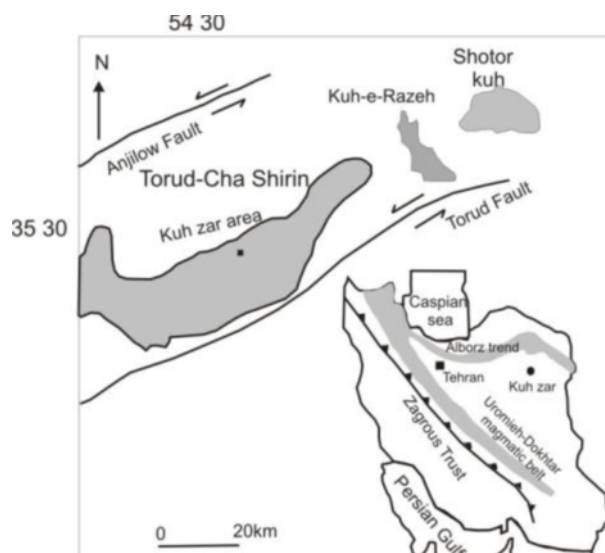
- گدازها و سنگ‌های پیروکلاستیک که اغلب ترکیب آندزیتی، تراکی آندزیتی تا بازالتی دارند.

- توده‌های آذرین نیمه عمیق و کم عمق که گسترش چندانی ندارند.

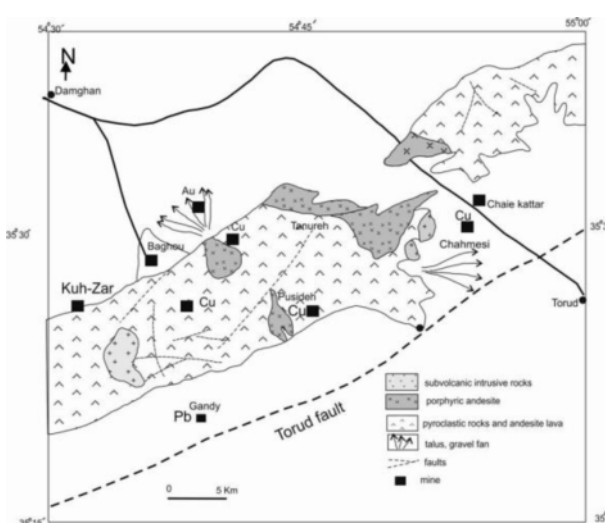
گسل‌های انجیلو و ترود به ترتیب در شمال و جنوب منطقه دو گسل راستا لغز بزرگ با روند شمال شرقی دیده می‌شوند. کوه‌های ترود-چاه شیرین دارای چندین کانسار و راگرما شامل: کوه زر (مس-طلاء-فیروزه)، گندی (Au, Ag, Pb-Zn)، ابوالحسنی (Pb, Zn, Ag, Au)، چشم‌های حافظ (Pb-Zn) و چاه مسی (Cu) و پوسیده (Cu) است [۲۲] (شکل ۱ و ۲).

زمین‌شناسی عمومی منطقه

کانسارکوه زر در میان برونزدهای آتشفسانی نفوذی شمالی کوه ترود-چاه شیرین به سن ائوسن میانی تا میوپلیوسن واقع شده است [۲۰]. شکل‌گیری ماقمایی و زایش طلا و فیروزه در منطقه باغو توسط رشید نژاد عمران [۲۱] بررسی شده است. کوه‌های ترود-چاه شیرین با ترکیب غالب سنگ‌های آذرین به سن پالئوزن هستند. بیشترین فعالیت ماقمایی در دوره‌ی ائوسن میانی تا بالایی رخ داده است. فعالیت ماقمایی از قدیم به جدید به سه مرحله تقسیم می‌شود [۲۲]:
فعالیت آتشفسانی شامل گدازهای ریولیتی، ریوداستی، آندزیتی همراه با مارن و گاهی ماسه سنگ ماسه سنگ‌های



شکل ۱ موقعیت رشته کوه‌های ترود-چاه شیرین بین دو گسل انجیلو-ترود و منطقه کوه زر [اقتباس از ۱۰].



شکل ۲ نقشه‌ی زمین‌شناسی منطقه‌ی ترود و موقعیت کانسارهای موجود در منطقه، [اقتباس از ۱].

اشاره کرد. کانه‌زایی در زون بروزنزاد، در راستای زون‌های برشی و گسله صورت گرفته است، آبهای جوی به راحتی تا اعمق زیاد نفوذ کرده و زون‌های کانه‌زایی درون‌زاد (پیریت، کالکوژیت و گالن) را تحت تاثیر قرار داده و سبب تشکیل اکسیدهای آبدار گوتیت، لیمونیت و لپیدولیت، کربنات‌های مس‌دار (آزویریت و مالاکیت)، کوپیریت و تیغه‌های هماتیت شده و فیروزه در این زون تشکیل شده است [۹].

سنگ‌شناسی سنگ‌های آذرین منطقه

سنگ میزبان کانه‌زایی و دگرسانی در منطقه‌ی کوه زر شامل دو گروه متفاوت است. (الف) حجم وسیعی از سنگ‌های منطقه را سنگ‌های پیروکلاستیک، شامل لایلی توف، توف، برش پیروکلاستیک تشکیل می‌دهند. این سنگ‌ها روی نمودار دو تایی $[24]$ $\text{Na}_2\text{O} + \text{K}_2\text{O}/\text{SiO}_2$ ، دارای ترکیب شیمیائی از بازالت آندزیتی، آندزیت، تراکی آندزیت و داسیت تا ریولیت هستند [۹] (جدول ۱، شکل ۳-الف). ترکیب غالب این سنگ‌های آذرین، حدواسط با ترکیب تراکی آندزیت تا آندزیت است. (ب) سنگ‌های نفوذی که بر اساس داده‌های سنگ‌نگاری و زمین شیمی عناصر اصلی، روی نمودار QAP، در گستره‌ی دیوریت، کوارتزدیوریت و گرانودیوریت قرار می‌گیرند (شکل ۳-ب). ترکیب غالب این سنگ‌ها دیوریت تا کوارتز دیوریت است. به طور کلی ماقمای سازنده‌ی هر دو گروه از سنگ‌های آذرین، کلسیومی-فلایی است (شکل ۳-پ) و محیط زمین ساختاری تشکیل آن‌ها نیز کمان آتشفشنی زون‌های فرورانش است (شکل ۳-ت).

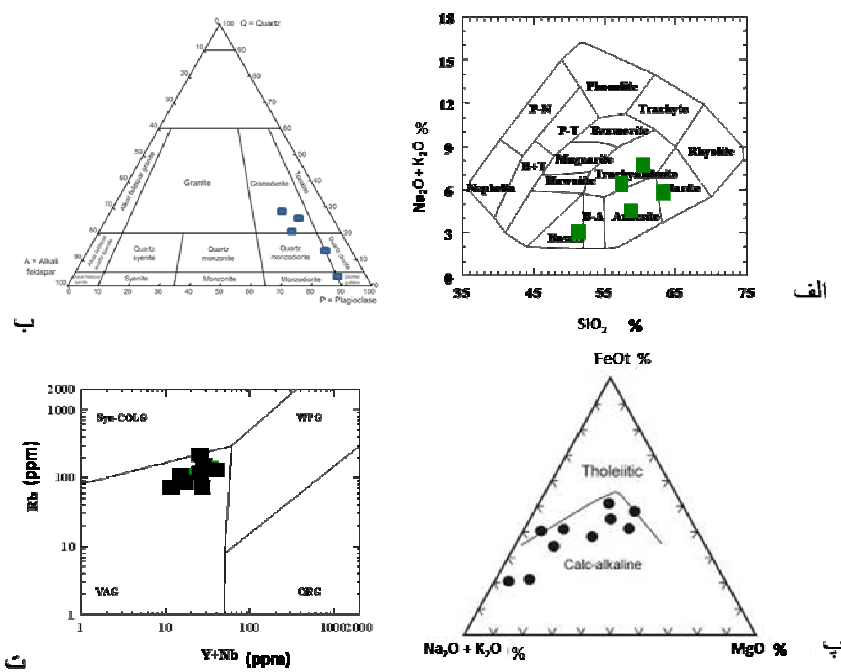
دباله‌ی سنگ چینه‌ای منطقه‌ی کوه زر به ترتیب از پائین به بالا شامل واحدهای رسوبی کنگلومرای فجن (ائوسن زیرین) و مارن دو ظهیر (لوتسین بالایی تا شروع ائوسن بالایی)، توده‌های دیوریتی تا گرانودیوریتی (ائوسن پسین-الیگوسن) و دایک‌های بازیک و توده‌های عمیق پورفیریک (میوپلیوسن) می‌باشد. سنگ‌های آتشفشنی ترکیب آندزیتی-تراکی آندزیتی داشته و به صورت دباله‌ی توفها و گدازه‌های سبر-خاکستری دیده می‌شوند که به‌وسیله‌ی توده‌های کوچک دیوریتی و گرانودیوریتی و دایک‌های مربوطه قطع شده‌اند [۲۳]. واحدهای آتشفشنی در اثر فرآیند گرمابی دگرسان شده‌اند.

در منطقه کوه زر کانی‌سازی مس، سرب و به مقدار کمتر روی و منگنز به صورت رگه‌ای در میان سنگ‌های آتشفشنی ترسیاری با ترکیب کالکوسبیت، مالاکیت، کوپیریت، کالکوپیریت، گالن و اسفالریت دیده می‌شود، که در حال حاضر به شکل معادن متوجه در منطقه پراکنده‌اند.

بر اساس بررسی‌های انجام شده در منطقه‌ی کوه زر، در مجموع می‌توان کانه‌زایی را به دو زون درون زاد و بروزن زاد تقسیم کرد [۹]. کانه‌زایی درون زاد شامل کانه‌زایی مس و طلاست، در اثر نفوذ گرمابها در زون‌های گسلیده و برشی، به وقوع پیوسته است. وسعت زون‌های برشی موجود که حاصل نیروهای برشی حاکم بر منطقه است از عمق به سطح افزایش می‌یابند. فرایندهای کانه‌زایی درون زاد در منطقه‌ی باغو بیشتر رگه‌ای است. از مهم‌ترین کانه‌های زون درون زاد می‌توان به پیریت، کالکوپیریت، گالن، دانه‌های پراکنده طلا و آرسنوبیریت

جدول ۱ ترکیب شیمیایی سنگ‌های آذرین نفوذی و آتشفشنی منطقه‌ی کوه زر

| Sample (wt%) | Ku/1 | Ku/4 | Ku/7 | Ku/8 | Ku/9 | Ku/20 | Ku/22 | Ku/25 | Ku/27 | Ku/30 |
|-------------------------|-------|-------|-------|-------|-------|-------|-------|-------|-------|-------|
| SiO_2 | ۵۷,۴۶ | ۵۸,۶۶ | ۶۰,۵۲ | ۶۲,۲۴ | ۴۸,۳۰ | ۶۸,۶۶ | ۵۲,۶۹ | ۶۴,۳۲ | ۵۷,۳۲ | ۵۷,۰۳ |
| TiO_2 | ۰,۵۵ | ۰,۸۴ | ۰,۵۶ | ۰,۳۵ | ۰,۸۴ | ۰,۳۳ | ۰,۸۹ | ۰,۴۵ | ۰,۶۷ | ۰,۷۴ |
| Al_2O_3 | ۱۵,۶۵ | ۱۶,۱۸ | ۱۵,۲۳ | ۱۲,۳۴ | ۱۵,۶۸ | ۱۴,۲۳ | ۱۷,۷ | ۱۵,۶۹ | ۱۷,۱۳ | ۱۶,۰۴ |
| Fe_2O_3 | ۳,۲۴ | ۴,۰۴ | ۳,۳۶ | ۳,۳۷ | ۶,۴۸ | ۱,۲۰ | ۲,۵۹ | ۱,۸۴ | ۳,۳۲ | ۲,۸۹ |
| FeO | ۰,۰۱ | ۰,۱۰ | ۰,۱۶ | ۰,۲۷ | ۰,۲۹ | ۱,۳۴ | ۴,۷۶ | ۲,۰۶ | ۳,۲۹ | ۲,۶۵ |
| MnO | ۲,۵۵ | ۱,۵۹ | ۲,۵۸ | ۲,۲۵ | ۲,۵۹ | ۰,۰۶ | ۰,۱۸ | ۰,۱۶ | ۰,۲۵ | ۰,۱۴ |
| MgO | ۴,۵۶ | ۴,۹۹ | ۲,۳۵ | ۲,۱۹ | ۵,۷۸ | ۱,۳۵ | ۷,۳۲ | ۳,۰۲ | ۳,۶۶ | ۳,۶۵ |
| CaO | ۴,۴۶ | ۳,۲۲ | ۲,۵۴ | ۲,۳۰ | ۳,۶۰ | ۲,۹۳ | ۴,۵۶ | ۲,۰۱ | ۴,۷۸ | ۶,۱۹ |
| Na_2O | ۲,۷۴ | ۳,۲۱ | ۴,۳۶ | ۵,۳۱ | ۱,۹۸ | ۴,۰۱ | ۳,۳۰ | ۲,۹۸ | ۳,۶۹ | ۴,۳۲ |
| K_2O | ۳,۵۶ | ۱,۲۵ | ۴,۳۲ | ۳,۴۵ | ۰,۹۸ | ۳,۸۵ | ۲,۸ | ۴,۵۶ | ۳,۹۹ | ۳,۲۶ |
| P_2O_5 | ۰,۲۵ | ۰,۳۶ | ۰,۵۴ | ۰,۴۰ | ۰,۳۹ | ۰,۱۹ | ۰,۳۱ | ۰,۳۸ | ۰,۳۳ | ۰,۲۵ |
| L.O.I | ۰,۸۰ | ۲,۳۱ | ۱,۲۶ | ۱,۳۵ | ۱,۶۸ | ۰,۱ | - | ۱,۶۹ | ۱,۲۵ | - |
| Total (wt%) | ۹۵,۸۳ | ۹۶,۷۶ | ۹۷,۷۸ | ۹۶,۱۰ | ۹۷,۵۹ | ۹۸,۱۶ | ۹۷,۱ | ۹۹,۱۶ | ۹۹,۶۸ | ۹۸,۱۶ |



شکل ۳ الف. ترکیب شیمیایی سنگ‌های بیرونی منطقه‌ی کوه زر [۲۴]، ب. ترکیب شیمیایی سنگ‌های نفوذی [۲۵]، پ. تعیین نوع مagmaی سنگ‌های آذرین با استفاده از نمودار AFM [۲۶]، ت. تعیین محیط زمین‌ساختی که در موقعیت قوس آتشفسانی قرار می‌گیرد [۲۷].

های دگرسان جلوه ویژه‌ای دارد و به سهولت قابل تشخیص است. تورمالین‌های مجتمع و ریزدانه به رنگ سیاه و بافت توده‌ای، شعاعی و رگچه‌ای و نیز به صورت پراکنده در این همیافتی دیده شده‌اند. در برخی موارد این قلوه‌های کوچک به آسانی از سنگ دگرسان شده رها شده و در سطح خاک‌ها قابل جمع آوری هستند.

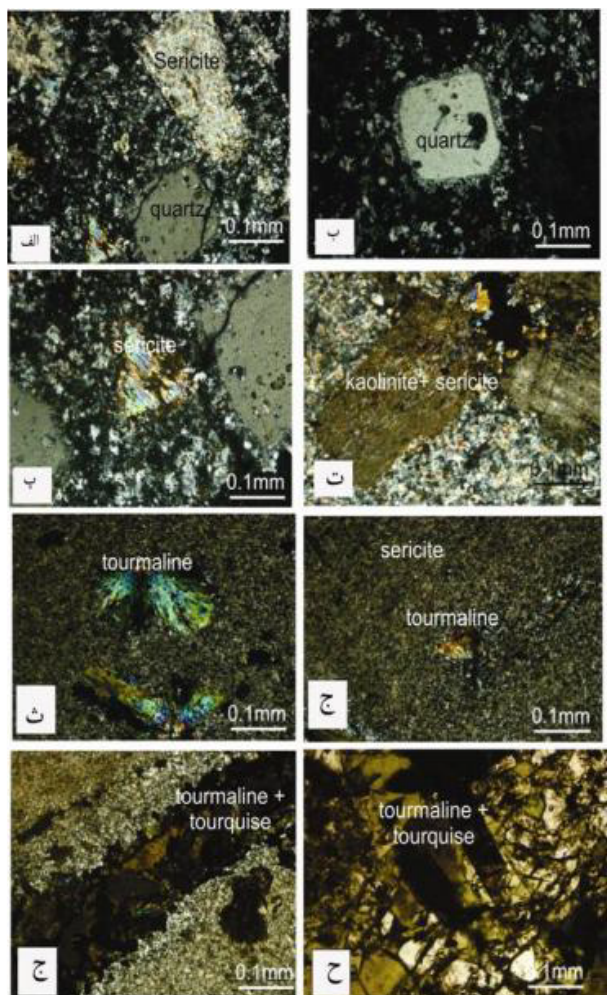
بر اساس بررسی‌های سنگنگاری، کانی‌های اصلی سنگ‌های دگرسان شده در منطقه کوه زر عبارتند از کوارتز (۴۰٪)، فلدسپار (۸-۱۰٪)، فدسبار کائولینیتی شده (۱۰-۱۵٪)، بیوتیت (۵-۱۰٪)، سریسیت (۵-۱۰٪)، آلونیت (۳-۵٪)، کلریت (۳-۵٪)، اپیدوت (۵-۷٪)، کلسیت (۳-۵٪)، پیریت (۲-۳٪)، تورمالین (۵-۱۰٪) و فیروزه (۳-۵٪). زون پروپلیتیک گسترش پراکنده‌ای را در منطقه دارد، محصول این دگرسانی سوسورویتی شدن پالازیوکلازها، کلریتی شدن بیوتیت و آمفیبول، اپیدوتی شدن و گاهی کربناتی شدن است. زون فیلیک به عنوان گستردۀ‌ترین زون دگرسانی دارای کانی‌های اصلی کوارتز، سرسیت و پیریت است. دگرسانی آرژیلیک پیشرفتۀ درون زون فیلیک رخنمون دارد که با پیدایش کانی‌های آلونیت، فیروزه، تورمالین و مقدار کمی ژاروسیت مشخص است. بافت ویژه سنگ‌های نیمه آتشفسانی در پهنه‌ی سنگ-

روابط صحرایی و سنگنگاری دگرسانی‌های گرمابی پی‌جویی‌های مفصل صحرایی نشان داد که تقریباً تمامی سنگ‌های منطقه تحت تاثیر دگرسانی گرمابی قرار گرفته‌اند. دگرسانی پروپلیتیک به صورت پراکنده و بیشتر در سنگ‌هایی با ترکیب آندزیتی دیده می‌شود. توسعه زون فیلیک در سنگ‌های آذرین درونی و بیرونی در این منطقه به خوبی دیده می‌شوند این زون گستردۀ‌ترین زون دگرسانی را تشکیل می‌دهد. دگرسانی آرژیلیک پیشرفتۀ به صورت رگه‌ای و یا پراکنده در زون دگرسانی فیلیک دیده می‌شود. سیلیس به صورت رگه‌ای و رگچه‌ای تمامی زون‌های دگرسان منطقه را قطع کرده است. از موارد قابل توجهی که در این منطقه گزارش می‌شود، همیافتی کمیاب دو کانی فیروزه و تورمالین در زون دگرسانی فیلیک می‌باشد. شواهد صحرایی رخداد فیروزه را در سنگ‌های دگرسان شده فلزیک به دو صورت نشان می‌دهد:

(الف) فیروزه به رنگ آبی آسمانی در همیافتی با اکسیدهای آهن (هماتیت-گوتیت) و کوارتز، این گونه رخداد را تنها در سطح شکست رگچه‌ها به خوبی می‌توان دید.

(ب) همچنین این کانی به صورت پراکنده در متن سنگ‌های دگرسان به صورت قلوه شکل‌های کوچک و در بیشتر موارد با رنگ ویژه آبی آسمانی، شکست صدفی در زمینه روش سنگ-

شکل می‌گیرند و تشخیص محیط دگرسانی‌ها به وسیله‌ی ویژگی‌های کانی‌شناسی و ایزوتوب‌های پایدار کانی‌ها مشخص می‌شود. علاوه بر کانی‌های نام برد در منطقه کوه زر، تورمالین به عنوان یکی از کانی‌های همیافت در دگرسانی فیلیک و آرژیلیک پیشرفت‌های دیده شده است.



شکل ۴. الف. حفظ شدن بافت پورفیری اولیه، درشت بلور کوارتز همراه با درشت بلور فلدسپار که به وسیله‌ی سرسیت کامل‌آجاشین شده‌اند. ب. سیلیس ثانویه که روی کوارتز اولیه سنگ آتشفسانی رشد کرده است. پ. جاشینی کامل یک کانی فرومیزین (که به شکل درشت بلور بوده است) به وسیله سرسیت آثار رخ کانی اولیه هنوز دیده می‌شود. ت. درشت بلورهای فلدسپار به‌طور کامل به وسیله‌ی سرسیت و کائولینیت جاشین شده‌اند (شبیریخت). ث. رخداد نیمه شعاعی بلورهای تورمالین در زمینه‌ی دگرسانی فیلیک. ج. رشد نقطه‌ای تورمالین در زمینه‌ی کوارتز-سرسیت. چ. همیافتی تورمالین، فیروزه در رگچه‌ای که زون دگرسانی فیلیک را قطع کرده است. ح. همیافتی تورمالین و فیروزه در فضاهای خالی و برشی.

های دگرسان عادی است. در بیشتر موارد کوارتز با حواشی نیمه گرد شده به شکل درشت بلور قابل مشاهده است. درشت بلورهای فلدسپار که به‌طور کامل به وسیله‌ی سرسیت جاشین شده‌اند نیز در زون فیلیک به خوبی دیده می‌شود (شکل ۴-الف). نمود سیلیسی شدن علاوه بر جاشینی کوارتز ریزدانه در متن یا رخداد رگچه‌ای به شکل پوششی ۲ روی کوارتزهای درشت بلور دیده می‌شود (شکل ۴-ب). در زون دگرسان فیلیک جاشینی کامل کانی فرومیزین اولیه درشت بلور توسط مسکوویت کاملاً مشهود است (شکل ۴-پ). دگرسانی همزمان درشت بلورهای فلدسپار توسط سرسیت و کائولینیت نیز دیده می‌شود (شکل ۴-ت). تورمالین با فراوانی کمتر از ۱۰ درصد، به اشكال زیر در زون فیلیک قابل مشاهده است.

الف: اشكال نیمه شعاعی که بیشتر به نظر می‌رسند، پر کننده فضاهای خالی بوده‌اند (شکل ۴-ث).

ب: تورمالین به شکل نطفه‌ای در زمینه کانی‌های فلسيک (کوارتز-سرسیت) که نشانگر آغاز رشد اين کانی به خرج کانی‌های زمینه است، اين گونه تورمالین‌ها در نهايیت اشكال آميبي به خود می‌گيرند و مرز ناپايدار با زمینه نشان می‌دهند (شکل ۴-ج).

ج: تورمالین‌های منفرد در برخی موارد دارای ساختار زونه هستند.

د: آنکه در همه‌ی موارد تورمالین‌های پراکنده با گرهک‌های فيروزه همراه با دگرسانی فیلیک است. فيروزه با فراوانی کمتر از ۵٪ رخداد رگچه‌ای دارد و پر شدگی فضای خالی تورمالین با فيروزه نیز عادی است (شکل ۴-ج). بررسی دقیق رگچه‌ها نشان می‌دهد که بعد از تشکیل تورمالین فضای خالی به وسیله فيروزه پر شده است (شکل ۴-ح). روابط پاراژنتیکی کانی‌ها و دنباله‌ی تشکیل زون‌های دگرسانی در جدول ۲ نشان داده شده است.

بررسی‌های XRD نیز مجموعه کانی‌های کلریت، اپیدوت، کوارتز، سرسیت، پیریت، تورمالین، آلونیت و فيروزه را در گستره‌ی دگرسانی نشان می‌دهند (جدول ۳).

بحث و بررسی الف: خاستگاه تورمالین

کانی‌های اصلی سازنده‌ی دگرسانی آرژیلیک پیشرفت‌های (اسید-سولفات) شامل آلونیت، کائولینیت، کوارتز و پیریت‌اند. این کانی‌ها تحت تأثیر گرمابهای سولفاتی و اسیدی تشکیل شده‌اند. شاره‌های اسیدی به چندین صورت در محیط اپی‌ترمال

جدول ۲ روابط پاراژنتیکی کانی‌ها در زون‌های دگرسانی منطقه کوه زر.

| کانی‌ها | بازمانده کانی‌های سنگ میزان | زون بروپیلیتیک | زون آرژیلیک | زون آرژیلیک پیشرفتہ |
|-----------------------|-----------------------------|----------------|-------------|---------------------|
| کوارتز | xxxxx | xxxxx | xxxxx | xxxxx |
| فلدسبار پتاسیم | xxxxx | | xxxxx | |
| بلادز-پوکلار سوسوریتی | xxxxx | xxxxx | | |
| هونبلند | xxxxx | | | |
| بیوتیت | xxxxx | xxx | xxxxx | |
| کاتولینیتی شدن | | xxxxx | | |
| اپیدوت | | xxxxx | | |
| کلریت | | xxxxx | | |
| کلسیت | | xxxxx | xxxxx | |
| سریسیت | | | | xxxxx |
| تورمالین | | | | xxxxx |
| پیریت | | | xxxxx | |
| آلونیت | | | | xxxxx |
| ڈاروسیت | | | | xxxxx |
| فیروزه | | | | xxxxx |

جدول ۳ نتایج کانی‌های موجود در زون‌های دگرسانی، کانسار کوه زر به روش پراش پرتو X (XRD).

| شماره نمونه | پاراژن کانیها | منطق دگرسانی |
|-------------|------------------------------------------|-----------------|
| Zr-1 | کلریت، اپیدوت، کانی‌های کربناته و کوارتز | بروپیلیتیک |
| Zr-2 | کلریت، اپیدوت و کوارتز | بروپیلیتیک |
| Zr-3 | کوارتز، سریسیت و پیریت | فیلیک |
| Zr-4 | کوارتز، سریسیت ≠ پیریت | فیلیک |
| Zr-5 | کوارتز و سریسیت | فیلیک |
| Zr-6 | فیروزه، آلونیت و تورمالین | آرژیلیک پیشرفتہ |
| Zr-7 | فیروزه و آلونیت | آرژیلیک پیشرفتہ |
| Zr-8 | فیروزه، آلونیت، تورمالین و کوارتز | آرژیلیک پیشرفتہ |
| Zr-9 | فیروزه، آلونیت، تورمالین و ڈاروسیت | آرژیلیک پیشرفتہ |
| Zr-10 | کوارتز | رگچه‌های سیلیسی |

فرومیزین سنگ میزان (هونبلند، بیوتیت) یا اکسایش پیریت-های زون فیلیک و یا از طریق گرمابها تامین کرد. بر عنصری بسیار ناسازگار است که در طی تبلور بخشی در مذاب و سیال باقی می‌ماند، متتمرکز می‌شود. بر اساس بررسی‌های صورت گرفته توسط Pichavant & Manning [۲۸]، اضافه شدن عناصر B و F به سیستم Q-Ab-Or سبب افزایش حلایلت AI-Alkali و Si-Alkali می‌شود و نسبت H₂O (متاسوماتیم B). این فرآیند سبب آبشویی Na، K می‌شود که زمینه را برای پایداری تورمالین آماده می‌کند. لندن و همکاران [۲۹] ضریب اشباع از آلومینیوم (ASI) را برای پایداری تورمالین برابر ۳ تعیین کرده‌اند. این کانی در آبگون‌های بیوتیت‌دار متألمین حاوی کمتر از ۶ درصد B₂O_۳ ناپایدار

بررسی‌های زمین شیمیایی روی تورمالین‌های همیافت با فیروزه ترکیب شمیایی آنها را در گسترهٔ شورلیت-دراویت (متماهیل به قطب دراویت) نشان داده است (جدول ۴) (شکل ۵ الف و ب). همچنین بر اساس نمودار سه تایی Al-Al₁₅₀Fe₅₀-Al₁₅₀Mg₅₀، سنگ خاستگاه تشکیل دهندهٔ تورمالین متاپلیت‌ها و متاپسامت‌های همراه با فازهای سرشار از Al است (شکل ۵ پ).

برای شکل‌گیری تورمالین سازه‌های عنصری ضروری سیلیس-آلومینیم، بر، آهن و منیزیم هستند. سیلیس و آلومینیم در محیط زمین‌شناسی گسترهٔ کوه زر در اثر گسترش زون دگرسانی فیلیک (کوارتز-مسکوویت+پیریت) در دسترس قرار گرفته‌اند. آهن و منیزیم را می‌توان از فروپاشی کانی‌های

میکروسکوپی، (شکل گیری تورمالین در پهنه‌ی سرسیت و عدم تعادل بافتی سرسیت با تورمالین) واکنش زیر را پیشنهاد کرد:

$$\text{Na B}_4\text{O}_5(\text{OH})_4 + \text{KAl}_3\text{Si}_3\text{O}_{10}(\text{OH})_2 + \text{Fe}_3\text{O}_4 + \text{Mg} \rightarrow \begin{array}{c} \text{Muscovite} \\ \text{magnetite} \\ (\text{OH})_2 \text{ (aq)} = \text{Na}(\text{FeMg})_3\text{Al}_6(\text{BO}_3)_3\text{Si}_6\text{O}_{18}(\text{OH})_4 \\ \text{"hab"} \end{array}$$

$$\text{schorl-dravite}$$

همچنین می‌توان واکنش زیر را در نظر گرفت [۳۱]:

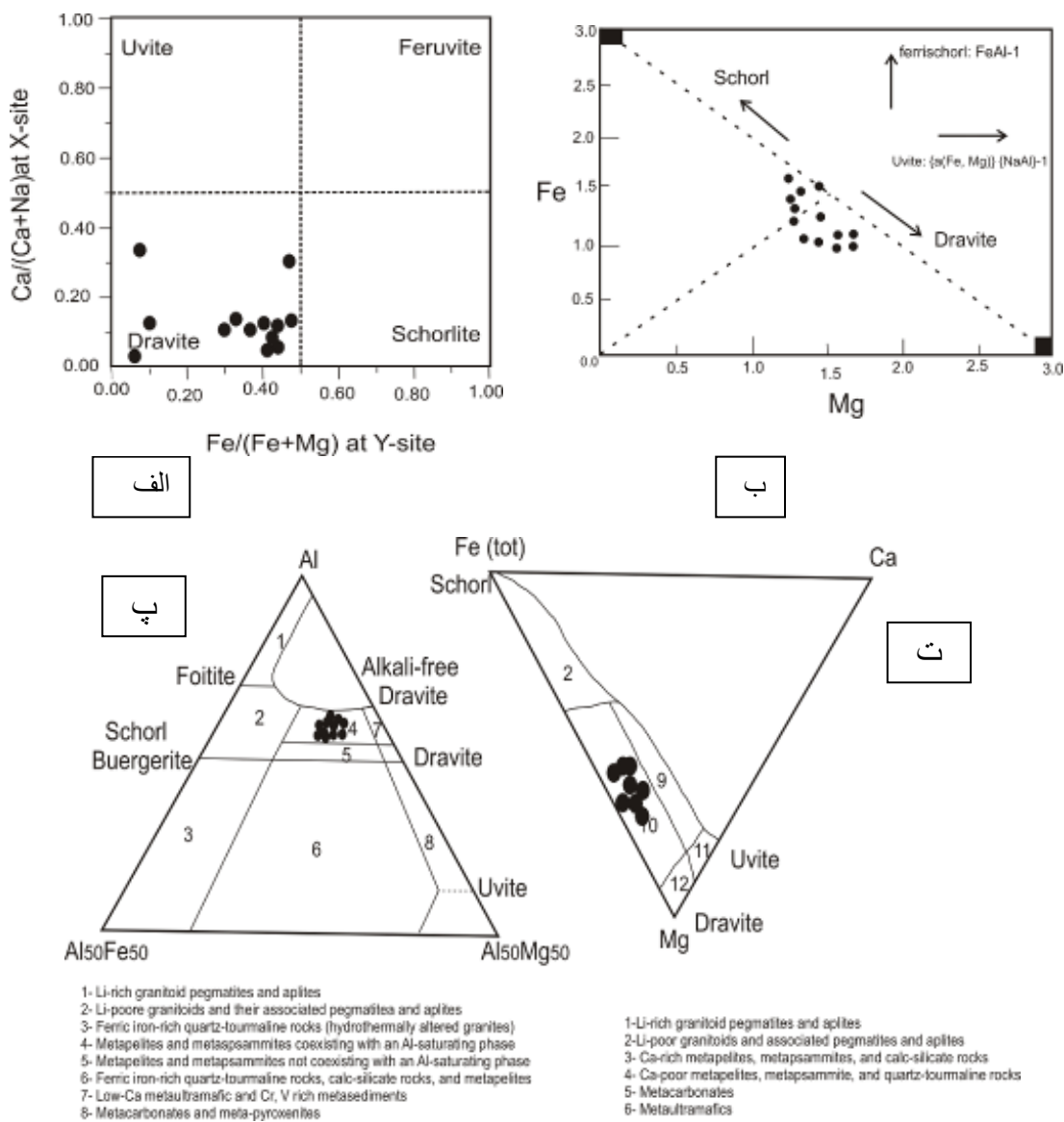
$$12 \text{ albite} + 6 \text{ magnetite} + \text{boric acid (aq)} = 2 \text{ schorl} \\ + 24 \text{ quartz} + \text{hematite} + 10 \text{ H}_2\text{O} + 10\text{Na}^+$$

آب باقیمانده از واکنش فوق می‌تواند در اثر یک فرآیند بازخور (feed back) دگرسانی بیشتر را موجب شود.

است و برای پایداری آن مقدار ASI باید به ۱۰.۳ تا ۱۱.۴ افزایش یابد. بنابراین درجه‌ی اشباع از آلومینیم محیط برای پایداری تورمالین از پارامترهای مهم محسوب می‌شود.

لندن [۳۰] برای شکل‌گیری تورمالین در انبانه‌های کانی-های گرانبها، کانی پیروفیلیت را به عنوان یکی از سازه‌های اصلی آلومینیومدار در نظر گرفته است. همچنین ترکیب بر مورد نیاز را به شکل برات قلیایی آبدار (hydrous alkali borate) بشیوه‌کار کده است.

برای پنهانی دگرسانی کوه زر تنها فاز کانیابی آلومینیومدار قلایل و اکنیش مسکوکوت است، لذا ممکن است با استناد به شواهد



شکل ۵ الف. نمودار $(\text{Ca} + \text{Fe})/\text{Al}$ نسبت به $(\text{Fe} + \text{Mg})/\text{Al}$ برای تقسیم‌بندی تورمالین، چنانکه که نمودار نشان می‌دهد نمونه‌ها در گستره دراویت قرار گرفته‌اند [۳۲]. ب. نمودار تقسیم‌بندی تورمالین بر اساس نسبت Fe/Mg نسبت به $\text{Al}/\text{Al}50\text{Fe}50$. پ. نمودار جدایشی $\text{Al}50\text{Mg}50$ و ت. نمودار سه‌تایی $\text{Fe}/\text{Ca}, \text{Mg}/\text{Ca}$ برای تعیین خاستگاه تورمالین [۱۹].

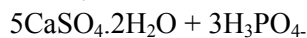
جدول ۴ نتایج میانگین داده‌های ریزپردازشی تورمالین‌های منطقه کوه زر و محاسبه کاتیونی آن.

| Sample | SiO ₂ | TiO ₂ | Al ₂ O ₃ | B ₂ O ₃ | FeO | MnO | MgO | CaO | ZnO | BaO | Na ₂ O | F | H ₂ O |
|--------|------------------|------------------|--------------------------------|-------------------------------|------|------|------|------|------|------|-------------------|------|------------------|
| Zr-T-1 | ۳۶.۶۸ | ۰.۳۲ | ۳۳.۷۸ | ۱۰.۷۹ | ۸.۵۶ | ۰.۰۷ | ۶.۱۵ | ۰.۲۹ | ۰.۰۳ | ۰.۰۸ | ۱.۸۴ | ۰.۰۴ | ۳.۷ |
| Zr-T-2 | ۳۶.۷۶ | ۰.۴۳ | ۳۳.۵۹ | ۱۰.۷۷ | ۸.۵ | ۰.۰۷ | ۶.۰۵ | ۰.۲۵ | ۰ | ۰ | ۱.۸۳ | ۰ | ۳.۷۱ |
| Zr-T-3 | ۳۶.۲۵ | ۰.۳ | ۳۳.۲۳ | ۱۰.۶۵ | ۹.۲۶ | ۰.۰۹ | ۵.۵۹ | ۰.۴۲ | ۰.۰۳ | ۰ | ۱.۷۸ | ۰.۰۶ | ۳.۶۵ |
| Zr-T-4 | ۳۶.۴۱ | ۰.۳۷ | ۳۳.۶۸ | ۱۰.۷۲ | ۹.۲۱ | ۰.۰۷ | ۵.۴۸ | ۰.۴ | ۰.۰۴ | ۰.۰۲ | ۱.۸ | ۰ | ۳.۷ |
| Zr-T-5 | ۳۶.۶۹ | ۰.۳۴ | ۳۴.۰۴ | ۱۰.۸۲ | ۸.۹۷ | ۰.۰۸ | ۶.۶۴ | ۰.۵۱ | ۰.۰۵ | ۰.۰۲ | ۲.۰۷ | ۰.۰۴ | ۳.۷۱ |
| Zr-T-6 | ۳۷.۰۱ | ۰.۴۳ | ۳۲.۵ | ۱۰.۸۴ | ۶.۲ | ۰.۰۲ | ۷.۴۲ | ۰.۵۶ | ۰.۰۲ | ۰ | ۲.۹ | ۰.۰۱ | ۳.۷۴ |
| Zr-T-7 | ۳۶.۶۷ | ۰.۷۴ | ۳۲.۰۴ | ۱۰.۷ | ۸.۱۹ | ۰.۰۹ | ۶.۷۹ | ۰.۷۱ | ۰ | ۰.۰۷ | ۱.۹۹ | ۰.۰۱ | ۳.۶۹ |
| Zr-T-8 | ۳۵.۹۱ | ۱.۰۷ | ۲۹.۱۲ | ۱۰.۴۵ | ۱۱.۲ | ۰.۰۷ | ۶.۶۸ | ۱.۳۳ | ۱.۰۱ | ۰.۰۳ | ۱.۸۹ | ۰.۰۷ | ۳.۵۷ |

| Number of cations on the basis of the 22 O | | | | | | | | | | | | |
|--------------------------------------------|------|------|------------------|------|------|---|------|------|------|------|------|------|
| Sample | Si | Ti | Al ⁺⁴ | Al Z | Al Y | B | Fe | Mn | Mg | Ca | Na | OH |
| Zr-T-1 | ۵.۹۱ | ۰.۰۴ | ۰.۰۹ | ۶ | ۰.۳۲ | ۳ | ۱.۱۵ | ۰ | ۱.۴۸ | ۰.۰۵ | ۰.۵۷ | ۳.۹۸ |
| Zr-T-2 | ۵.۹۳ | ۰.۰۵ | ۰.۰۶ | ۶ | ۰.۳۲ | ۳ | ۱.۱۵ | ۰ | ۱.۴۵ | ۰.۰۴ | ۰.۵۷ | ۴ |
| Zr-T-3 | ۵.۹۲ | ۰.۰۴ | ۰.۰۸ | ۶ | ۰.۳۱ | ۳ | ۱.۲۷ | ۰.۰۱ | ۱.۳۶ | ۰.۰۷ | ۰.۵۶ | ۳.۹۷ |
| Zr-T-4 | ۵.۹ | ۰.۰۵ | ۰.۰۹ | ۶ | ۰.۳۴ | ۳ | ۱.۲۵ | ۰.۰۱ | ۱.۳۲ | ۰.۰۷ | ۰.۵۶ | ۴ |
| Zr-T-5 | ۵.۸۹ | ۰.۰۴ | ۰.۱ | ۶ | ۰.۳۴ | ۳ | ۰.۹۴ | ۰.۰۱ | ۱.۵۹ | ۰.۰۸ | ۰.۶۴ | ۳.۹۸ |
| Zr-T-6 | ۵.۹۳ | ۰.۰۵ | ۰.۰۷ | ۶ | ۰.۲۶ | ۳ | ۰.۸۳ | ۰ | ۱.۷۷ | ۰.۰۹ | ۰.۶۵ | ۳.۹۹ |
| Zr-T-7 | ۵.۹۵ | ۰.۰۹ | ۰.۰۴ | ۶ | ۰.۰۸ | ۳ | ۱.۱۲ | ۰.۰۱ | ۱.۶۴ | ۰.۱۲ | ۰.۶۳ | ۳.۹۶ |
| Zr-T-8 | ۵.۹۷ | ۰.۱۳ | ۰.۰۳ | ۶ | ۰ | ۳ | ۱.۰۳ | ۰ | ۱.۶۵ | ۰.۲۲ | ۰.۶ | ۳.۹۷ |



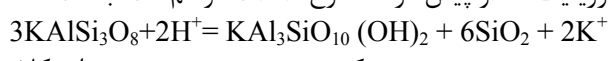
هیدروکسیل آپاتیت



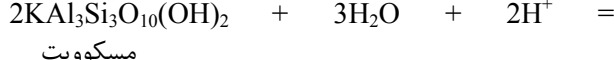
ژپس

در چنین محیط اسیدی شکل گیری مسکوویت (سرسیت)، کاولینیت و آلونیت (در اثر واکنش‌های هیدرولیز و دگرسانی ارزیلیک پیشرفت) به خرج فلدسپات‌ها محتمل است، علاوه بر این کانی‌های فوق می‌توانند طی واکنش‌های دگرسانی فیلیک و

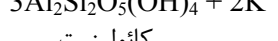
آرزیلیک که از پیش در گامه رخ داده‌اند، فراهم شده باشند:



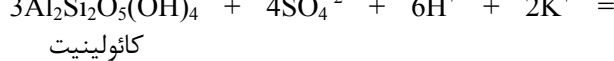
مسکوویت ارتولکاز



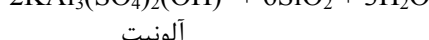
مسکوویت



کاولینیت



کاولینیت



آلونیت

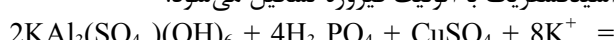
SiO₂ باقیمانده از واکنش بالا می‌تواند در شکل گیری رگه‌های

سیلیسی شرکت کند.

با توجه به همراهی فیروزه با آلونیت در کوه زر [۱۴]

پیدایش فیروزه به خرج آلونیت بنابر واکنش زیر پیشنهاد می‌شود [۳۷]. به این صورت که از واکنش سولفات‌ماس و

اسیدفسفریک با آلونیت فیروزه تشکیل می‌شود:



آلونیت

خاستگاه فیروزه

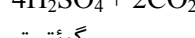
همیافتی کانی‌ای کوارتز، سرسیت، پیریت که شاخص دگرسانی فیلیک است در گام نخست دگرسانی روی داده است. بررسی‌های انجام شده [۳۴] نشان داده است که کانی سازی مس شامل کالکوپیریت، کالکوزین، کوولین که بیشتر از نوع پورفیری، رگه‌ای و افسان بود نیز با دگرسانی‌ها دیده می‌شود. از آنجا که تشکیل فیروزه در یک محیط هوایی رخ می‌دهد [۳۵]، فیروزه در منطقه کوه زر می‌تواند بنابر واکنش‌های زیر تشکیل شود که این واکنش‌ها ویژه منطقه‌ی بروزن است.

به نظر می‌رسد که نخست پیریت در شرایط اکسایش جوی بنابر واکنش زیر متلاشی شده و هیدروکسید آهن (گوئتیت) و

در نهایت اسید سولفوریک ایجاد کرده است:

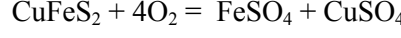


پیریت



گوئتیت

در بالاترین بخش زون اکسایشی سولفیدهای مس (در اینجا کالکوپیریت) نیز به سولفات‌ماس تبدیل می‌شوند [۳۶]:



کالکوپیریت

احتمالاً در شرایط اسیدی ایجاد شده فروشست^۲ فسفات از سنگ‌های آتشفشنای منطقه نیز انجام گرفته است و فسفر مورد نیاز به عنوان یک سازه‌ی بنیادی برای پایداری فیروزه آمده شده است.

برداشت

رخداد توأم تورمالین و فیروزه در کوه زر از موارد کمیاب پیدایش کانی‌هاست. در این منطقه‌ی همپوشی دو گونه دگرسانی رخ داده است، که برآیند آن پیدایش این دو کانی در یک محیط است (شکل ۶).

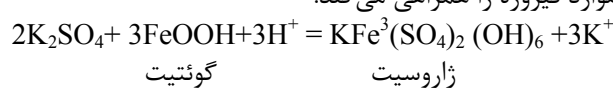
الف: دگرسانی کوارتز-سربیت-پیریت یا فیلیک که به عنوان پهنه‌ی دگرسانی اصلی منطقه وجود داشته است. دگرنهادی بر از خاستگاه دگرگونی اعمال شده به سیله‌ی توده‌های نفوذی منجر به پدیده تورمالین‌زایی بر پهنه دگرسانی فیلیک شده است. رخداد تورمالین که یک فاز سرشار از آلومینیم است، می-

تواند شاخص نوعی دگرسانی آرژیلیک پیشرفت‌های نیز باشد. ب: دگرسانی آرژیلیک پیشرفت‌های با شاخص کانیایی آلونیت، فیروزه، ژاروسیت، کوارتز، مسکوبیت، کائولینیت. شاره‌های موثر این دگرسانی از خاستگاه اکسایش پیریت و سولفیدهای مس بوده‌اند که با ایجاد یک محیط فرون‌نشست اسیدی بر پهنه‌ی فیلیک قبلی سازه‌های تشکیل فیروزه (Al_2O_3 , P_2O_5 , CuO) را فراهم کرده‌اند.



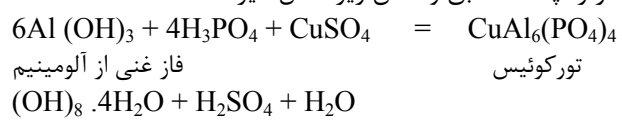
تورکوئیس

در اینجا می‌توان ترکیب آلونیت را با جانشینی (Fe^{3+}) به جای (Al^{3+}) یعنی متمایل به قطب ژاروسیت ($\text{KFe}_3(\text{SO}_4)_2(\text{OH})_6$) در نظر گرفت زیرا فیروزه‌های منطقه حاوی اندکی آهن هستند (جدول ۵). در نهایت سولفات پاتاسیم حاصل با هیدروکسیدهای آهن در تشکیل ژاروسیت شرکت می‌کند. رخداد ژاروسیت با رنگ حنایی و جلای ویژه در بیشتر موارد فیروزه را همراهی می‌کند.



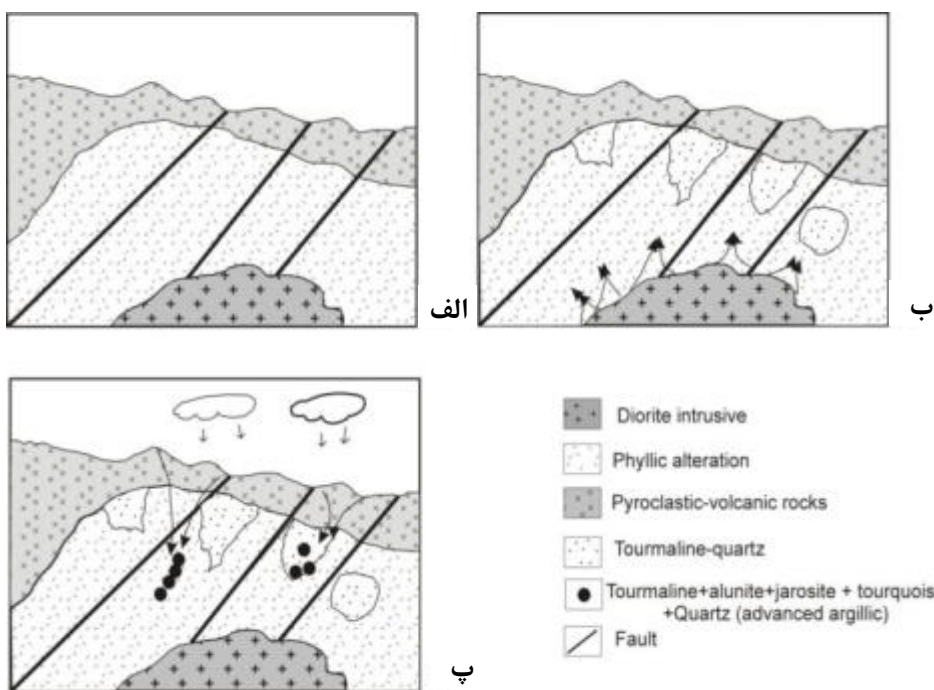
ژاروسیت

برای رخداد رگچه‌ای این کانی می‌توان چنین پیشنهاد کرد که فیروزه ممکن است به خرج فسفر آزاد شده در محیط اسیدی و مستقل از آلونیت با حضور فاز کانیایی یا سیال غنی از آلومینیم در رگچه‌ها مطابق واکنش زیر شکل گردید [۳۷]:



جدول ۵ نتایج میانگین داده‌های ریزپردازشی فیروزه‌ی منطقه‌ی کوه زر و محاسبه کاتیونی آن.

| Oxide% | Tu-1 | Tu-2 | Tu-3 | Tu-4 | Tu-5 | Tu-6 | Tu-7 |
|--------------------------------------------|--------|--------|--------|--------|--------|--------|--------|
| P_2O_5 | ۲۲.۳۵ | ۳۴.۴۰ | ۲۲.۲۷ | ۲۲.۲۲ | ۳۳.۲۲ | ۲۲.۳۷ | ۲۲.۳۰ |
| SiO_2 | ۰.۰۶ | ۰.۰۷ | ۰.۰۶ | ۰.۰۵ | ۰.۰۵ | ۰.۰۶ | ۰.۰۷ |
| Al_2O_3 | ۳۶.۹۲ | ۳۵.۵۰ | ۳۶.۹۰ | ۳۶.۸۴ | ۳۶.۹۱ | ۳۶.۹۱ | ۳۶.۷۰ |
| Fe_2O_3 | ۳.۵۹ | ۴.۰۳ | ۳.۶۷ | ۳.۶۴ | ۳.۵۸ | ۳.۶۶ | ۴.۰۲ |
| CuO | ۸.۳۰ | ۸.۷۴ | ۸.۹۱ | ۷.۶۷ | ۷.۸۳ | ۸.۳۴ | ۸.۷۱ |
| ZnO | ۰.۵۰ | ۰.۴۳ | ۰.۴۸ | ۰.۵۰ | ۰.۴۹ | ۰.۵۱ | ۰.۴۹ |
| CaO | ۰.۰۳ | ۰.۰۵ | ۰.۰۶ | ۰.۰۴ | ۰.۰۳ | ۰.۰۶ | ۰.۰۵ |
| K_2O | ۰.۰۶ | ۰.۰۵ | ۰.۰۶ | ۰.۰۶ | ۰.۰۵ | ۰.۰۵ | ۰.۰۶ |
| BaO | ۰.۰۱ | ۰.۰۰ | ۰.۰۱ | ۰.۰۰ | ۰.۰۱ | ۰.۰۱ | ۰.۰۱ |
| Na_2O | ۰.۰۰ | ۰.۰۰ | ۰.۰۱ | ۰.۰۱ | ۰.۰۰ | ۰.۰۱ | ۰.۰۰ |
| K_2O | ۰.۰۶ | ۰.۰۵ | ۰.۰۶ | ۰.۰۶ | ۰.۰۵ | ۰.۰۵ | ۰.۰۶ |
| H_2O^+ | ۱۶.۷۳ | ۱۶.۳۰ | ۱۶.۲۱ | ۱۷.۵۰ | ۱۷.۴۱ | ۱۶.۷۸ | ۱۶.۷۵ |
| F | ۰.۰۶ | ۰.۰۵ | ۰.۰۶ | ۰.۰۵ | ۰.۰۸ | ۰.۰۶ | ۰.۰۶ |
| Cl | ۰.۰۲ | ۰.۰۳ | ۰.۰۳ | ۰.۰۳ | ۰.۰۲ | ۰.۰۲ | ۰.۰۳ |
| O=F | ۰.۳۶ | ۰.۳۷ | ۰.۳۶ | ۰.۳۵ | ۰.۳۵ | ۰.۳۷ | ۰.۴۵ |
| O=Cl | ۰.۰۰ | ۰.۰۰ | ۰.۰۱ | ۰.۰۰ | ۰.۰۱ | ۰.۰۱ | ۰.۰۱ |
| Total | ۱۰۰.۰۵ | ۱۰۰.۰۷ | ۱۰۰.۱۶ | ۱۰۰.۱۲ | ۱۰۰.۰۷ | ۱۰۰.۲۷ | ۱۰۰.۷۷ |
| Number of cations on the basis of the 12 O | | | | | | | |
| P | ۳.۶۹ | ۳.۹۹ | ۳.۹۸ | ۳.۹۹ | ۳.۹۷ | ۳.۶۹ | ۳.۹۹ |
| Si | ۰.۰۱ | ۰.۰۱ | ۰.۰۱ | ۰.۰۱ | ۰.۰۱ | ۰.۰۱ | ۰.۰۱ |
| Al | ۵.۹۵ | ۵.۹۵ | ۵.۹۵ | ۵.۹۵ | ۵.۹۵ | ۵.۹۵ | ۵.۹۴ |
| Fe | ۰.۴۸ | ۰.۴۹ | ۰.۴۸ | ۰.۴۸ | ۰.۴۸ | ۰.۴۸ | ۰.۴۹ |
| Cu | ۰.۸۲ | ۰.۸۹ | ۰.۹۴ | ۰.۸۷ | ۰.۸۸ | ۰.۸۲ | ۰.۸۱ |
| Zn | ۰.۰۶ | ۰.۰۵ | ۰.۰۵ | ۰.۰۶ | ۰.۰۵ | ۰.۰۶ | ۰.۰۵ |
| Ca | ۰.۰۱ | ۰.۰۱ | ۰.۰۱ | ۰.۰۱ | ۰.۰۱ | ۰.۰۱ | ۰.۰۱ |
| K | ۰.۰۱ | ۰.۰۱ | ۰.۰۱ | ۰.۰۱ | ۰.۰۱ | ۰.۰۱ | ۰.۰۱ |
| F | ۰.۴۳ | ۰.۴۳ | ۰.۴۳ | ۰.۴۳ | ۰.۴۳ | ۰.۴۳ | ۰.۴۳ |
| Cl | ۰.۰۱ | ۰.۰۱ | ۰.۰۱ | ۰.۰۱ | ۰.۰۱ | ۰.۰۱ | ۰.۰۱ |
| OH | ۱۵.۱۰ | ۱۵.۵۵ | ۱۵.۵۲ | ۱۶.۷۱ | ۱۶.۶۹ | ۱۵.۱۱ | ۱۵.۱۲ |



شکل ۶ مدل طرح گونه پیشنهادی برای پیدایش تورمالین-فیروزه کوه زر. الف. جایگیری توده‌ی نفوذی کوه زر و شکل گیری دگرسانی فیلیک به دنبال فرایند آشفشانی-پیروکلاستیکی میزان (کوارتز+سرسیت+کانی‌های سولفیدی). ب. هجوم شاره‌های ماقمایی و دگرگونی غنی از Al و در نهایت تورمالین‌زایی (تورمالین + کوارتز). پ. تخریب سولفیدها بهوسیله‌ی آبهای جوی، ایجاد محیط اکسایشی و اسیدی، فرونشست شاره‌ها و در نهایت تشکیل فیروزه.

[۶] نجاران م، "مطالعه ژئوشیمی و ژنز کانسار فیروزه با غو (دامغان)"، رساله کارشناسی ارشد دانشگاه شیراز، منتشر نشده ۱۵۱ (۱۳۷۹).

[۷] احمدی شاد ا، "مطالعه کانی شناسی آلتراسیون و لیتوژئوشیمیایی طلای منطقه با غو (کوه زر دامغان)"، رساله کارشناسی ارشد دانشگاه شهید بهشتی، ۲۰۰ (۱۳۷۶).

[۸] امینی ص، رشیدنژاد ن، مومن زاده م، "بررسی طلای پلاسربی در رویبات کواترنری ناحیه کوه زر-دامغان"، مجله پژوهشی دانشگاه اصفهان (علوم پایه)، (۱۳۷۹) مجله سیزدهم، شماره ۱، ۷۳-۹۶.

[۹] لیاقت س، شیخی و، نجاران م، "ژئوشیمی، و منشا کانسار فیروزه با غو (دامغان)"، مجله پژوهشی دانشگاه تهران ۲ (۱۳۷۸)، ۱۳۲-۱۴۵.

[۱۰] قربانی ق، قاسمی ح، "ژئوشیمی رگه کوارتز-تورمالین در توده گرانیتیوئیدی با غو، دمغان، شمال خاور ایران"، فصلنامه علوم زمین، سال ۱۸، شماره ۷۲، (۱۳۸۸)، ۸۹-۹۶.

[۱۱] خلیلی خ، مکی زاده م. ع، "رخداد تورمالین در معدن طلا-مس کوه زر (با غو) جنوب سمنان"، مجله پترولوجی، سال سوم، شماره ۹، (۱۳۹۱)، ۵۷-۷۰.

قدرتانی

نویسنده این مقاله از حمایت‌های مالی کمیته‌ی پژوهشی دانشگاه شیراز در به انجام رساندن این پژوهش تشکر می‌کند.

مراجع

[۱] ولی زاده م، جعفریان ع، "قرابت‌های پتروژنتیک ولکانو-پلوتونیک کوه زر-ترود و ارتباط آن با متالوژنی در ناحیه"، مجله علوم دانشگاه تهران ۲۰ (۱) (۱۳۶۸)، ۲۱-۳۳.

[۲] قربانی ق، وثوقی عابدینی م، پورمعافی س. م، "سنگ شناسی، کانی شناسی و پتروزنتر توده های نفوذی نوار ماقمایی ترود-چاه شیرین در جنوب دامغان"، نشریه دانشکده علوم زمین، ۱۰ (۱۳۸۴)، ۹۳-۱۰۰.

[۳] Huber, Sctoclin, "Geological report on the Toroud-Moaleman area", N. I. O. C. (1959)

[۴] Helmhacker R., "Die nutzbaren tagerstatten Persians", Z. Parket, Geology (1898) 40.

[۵] جعفریان ع، "بررسی پترولوجیکی قوس ولکانوپلوتونیک رشته کوه زر-ترود و انجمن های کانه زایی وابسته واقع در چهرگوش نقشه ترود (استان سمنان)", مجموعه مقالات دومین همایش زمین شناسی ایران (۱۳۶۸)، ۱۱۵-۱۱۸.

- [25] Streckeisen A.L., "Classification and nomenclature of volcanic rocks, lamprophyres, carbonatites and melilitic rocks, IUGS Subcommission on the Systematics of Igneous Rocks", *Geol. Rundsch.* (1980) 69, 194-207.
- [26] Irvine T.N., Baragar W.R.A., "A guide to the chemical classification of the common volcanic rocks" *Canadian Journal of Earth Sciences* (1971) 8, 523-548.
- [27] Winchester J. A., Floyd P. A., "Geochemical discrimination of different magma series and their differentiation products using immobile elements" *Chemical Geology* (1977) 20:325-343.
- [28] Pichavant M., Manning D.A.C., "Petrogenesis of tourmaline granites and topaz granites", contribution of experimental data 35 (1984) 35-50.
- [29] London D., Wolf M., Morgan G. B., "Boron saturation in granitic magmas: Tourmaline-biotite-cordierite equilibria", *Geology society of America* 26 (1994) 516.
- [30] London D., "Formation of tourmaline-rich gem pockets in miarolitic pegmatites", *American Mineralogist* (1986) 71 396-405.
- [31] Lynch G., Ortega J., "Hydrothermal alteration and tourmaline-albite equilibrium at the coxheath porphyry Cu-Mo-Au deposit, Nova Scotia", *The Canadian Mineralogist* 33 (1977) 79-94.
- [32] London D., Maning D.A., "Chemical variation and significance of tourmaline from SW England. Economic Geology" (1995) 90, 495-519.
- [33] Hawthorne F.C., Henry D. J., "Classification of the minerals of the tourmaline group. European Journal of Mineralogy" (1999) 11, 201-215.
- [34] Pirajno F., Smithies R.H., "The FeO/FeO+MgO ratio of tourmaline: A useful indicator of spatial variations in granite related hydrothermal mineral deposits", *Journal of Geochemical Exploration* 42 (1992) 371-381.
- [35] Romdor P., "The ore minerals and their intergrowth", copy right Akademie-verlasBerlin (1984).
- [36] Milovsky A.V., Kononov O.V., "Mineralogy, English translation, Mir Publishers, Moscow", (1985) 320.
- [37] Espahbod M.R., "Le District minier de la mine de Turquoise de uhe madan (Neychabur, Iran): Mineralisation et caractères géologiques, géochimiques et métallogéniques de l'uranium, du cuivre et du molybdène", Ph.D. these présentée devant l'université de Nancy I (1986) 191.
- [۱۲] رضائیان ک., نقره‌نیان م., مکی زاده م. ع., "زمین شناسی و منشأ فیروزه در اندیس علی آباد (تفت-یزد)", *محله پژوهشی دانشگاه اصفهان* ۲ (۱۳۱۲) ۱۴۵-۱۵۸.
- [۱۳] اعتمادی ب., خیرآبادی م., "مطالعه زمین شناسی و بررسی شیمیایی انواع کیفی فیروزه در معدن نیشابور، چهارمین همایش بلورشناسی و کانی شناسی ایران، بیرجند (۱۳۸۵).
- [۱۴] هاشمی تنگستانی س., "بررسی زمین شناسی، کانی شناسی، ژئوشیمی و ژئر فیروزه در معدن مس پورفیری میدوک", رساله کارشناسی ارشد، دانشگاه شیراز، واحد بین الملل (۱۳۹۰) ۲۶۳.
- [۱۵] حسنی پاک ع. ا., "اکتشاف ذخایر طلا، انتشارات دانشگاه تهران (۱۳۷۸).
- [16] Grew E. S., Anovitz L. M., "Boron mineralogy, petrology and geochemistry", review in mineralogy (1997) 33.
- [17] Slack J. F., Herriman N., Barnes R. G., Plimer I. R., "Stratiform tourmalinates in metamorphic terranes and their geologic significance". *Geology* 12(1985) 713-716.
- [18] Nicholson P. M., "The geology and economic significance of the Golden Dyke dome, Northern Territory. In Ferguson, J. and Goleby, A. B. (Eds.) *Uranium in the Pine Creek geosynclines: Vienna, International Atomic Energy Agency*" (1980) 319-334.
- [19] Henry D. J., Guidotti C. V., "Tourmaline as a petrogenetic indicator mineral: An example from the staurolite grade metapelites of NW-Marine". *American Mineralogist*, 70 (1985) 1-15.
- [۲۰] درویش زاده ع., "زمین شناسی ایران", انتشارات امیرکبیر، ۹۰۱ (۱۳۷۰).
- [۲۱] رشید نژاد عمران ن., "بررسی تحولات سنگ شناسی و ماقمایی و ارتباط آن با کانی سازی طلا در منطقه باغو (جنوب-جنوب شرق دامغان)", رساله کارشناسی ارشد، دانشگاه تربیت معلم تهران (۱۳۷۰).
- [22] Shamanian G. H., Hedenquist J. W., Hattori H., Hassanzadeh J., "The Gandy and Abolhassani epithermal prospects in the Alborz magmatic Arc, Semnan province, Northern Iran", *Economic geology* 99 (2004) 691-712.
- [۲۳] هوشمندزاده ع., علوی نائینی م., حقی پور ع., "تحول پدیده های زمین شناسی ناحیه ترود (از پرکامبرین تا عهد حاضر)", سازمان زمین شناسی کشور، ۱۳۸ (۱۳۵۷).
- [24] Cox K.G., Bell J.D., Pankhurst R.J., "The Interpretation of Igneous Rocks". George, Allen and Unwin, London (1979).